

②  $\rightarrow$  Fazit zu einer Physik  
bei hohen Energien, die uns  
direkt nicht zur Verfügung  
stehen.

Anderer Art von Oszillationen:

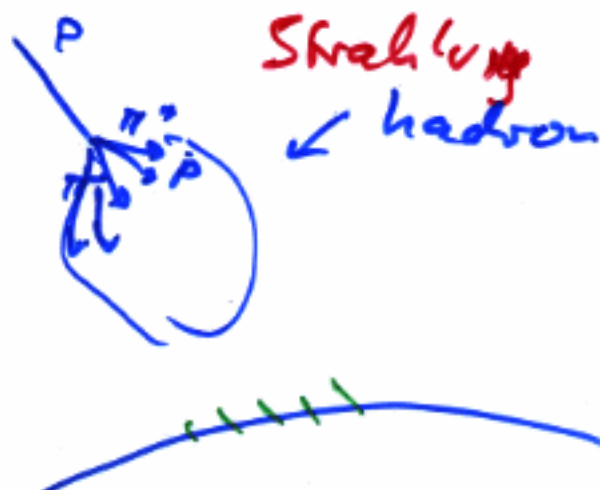
Neutrino - Oszillation

### Neutrinos

solare Neutrinos:  $6 \cdot 10^{10} \text{ V/cm}^2$   
Endoefläche  
1 Sekunde

atmosphärische Neutrinos: durch hadronische

Schauer hochenergetischer kosmischer  
Strahlung in der Atmosphäre:



hadronische Schauer  $\Rightarrow$  es entstehen  
viel  $\pi^-$ -Masse

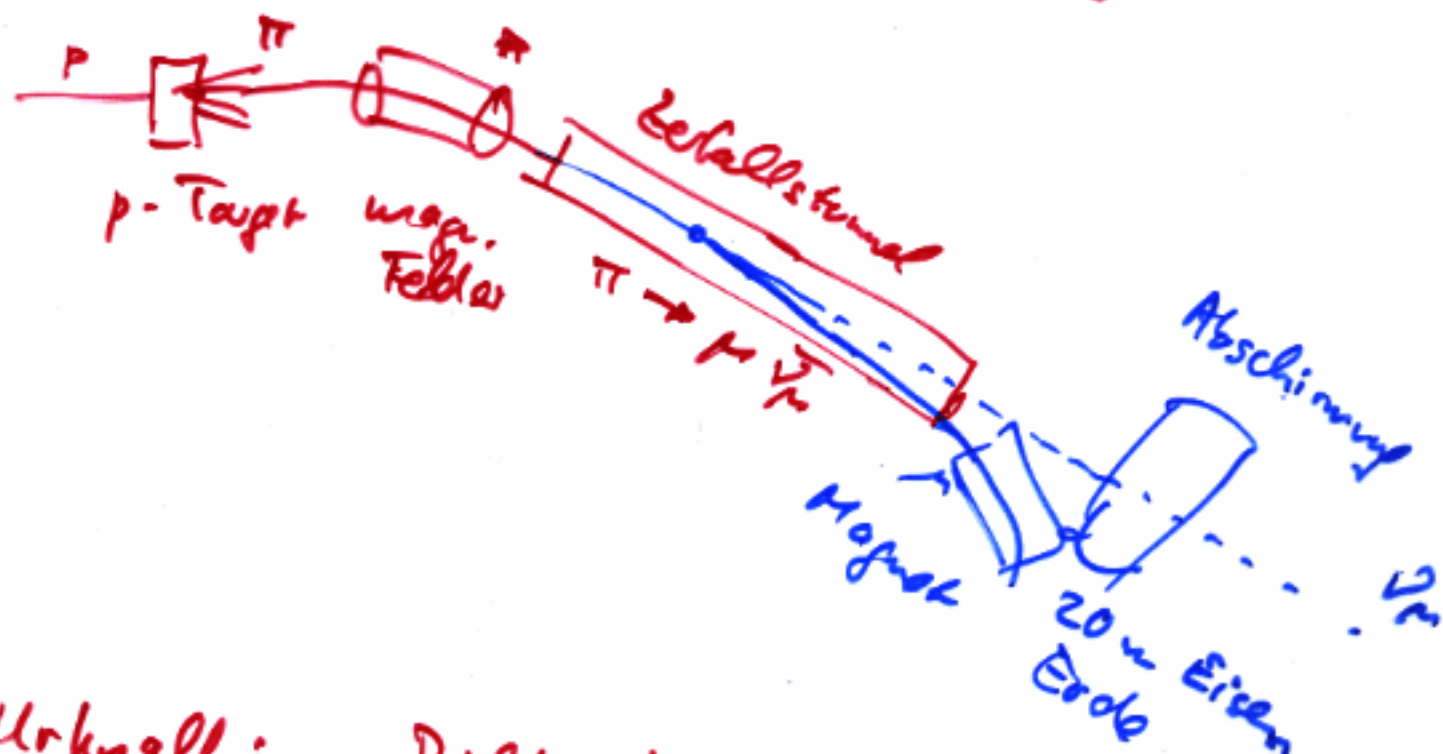


Ergebnis:  $\nu_\mu / \nu_e = 2:1$

2a) Supernova SN 1987A :  $10^{58} \text{ J}$   
dominante Energiefreisetzung

Kernkraftwerke  $10^{20} \text{ Js/s}$

Neutrinostrahlen am Beschleuniger



Urkwall: Dichte im Universum ist  
heute  $300 \text{ v/cm}^3$

$$\frac{v}{p+n} \approx 10^9$$

Standardmodell: Neutrinos sind  
masselos  
(aber neue Resultate sprechen  
für kleine Massen!)

③ Sat. { nur linkshändige Leptonen  
 nehmen an der schwachen  
 WW Teil. Es gibt keine  
 rechtshändigen ~~Antineutrinos~~  
 Neutrinos

linkshändige Teilchen:  $SU(2)$ -Dualettos  
 ↳ speziell  
 unitäre Gruppe

$$\begin{pmatrix} e_L^- \\ \nu_{e_L} \end{pmatrix} \quad \begin{pmatrix} \mu_L^- \\ \nu_{\mu_L} \end{pmatrix} \quad \begin{pmatrix} \tau_L^- \\ \nu_{\tau_L} \end{pmatrix}$$

rechtshändige Teilchen:  $SU(2)$ -Sizpletts..

$$e_R^- \quad \mu_R^- \quad \tau_R^-$$

Wenn  $\rightarrow$  masselos ist, ist die Geschwindigkeit  $v =$  Lichtgeschwindigkeit  $c$ , in jedem Bezugssystem.  
 $\Rightarrow$  Es gibt keine Lorentztransformation, die aus einem

④

Linkshändigen ein rechtshändiges  
Neutrino machen kann.

Wenn  $\nu$  eine kleine Masse haben,  
dann existieren auch rechtshändige  
Neutrinos

---

Neutrino experimente sind schwierig,  
weil  $WQ$  sehr klein ist.

$$\sigma_{\nu n} (\approx 1 \text{ MeV}) \approx 10^{-43} \text{ cm}^2$$

→ mittlere freie Weglänge im Wasser:

$$10^7 \cdot d_{SE} \text{ (Sonne-Erde)} \\ \hookrightarrow 150 \cdot 10^6 \text{ km}$$

- sehr hohen Neutrino fluss
- sehr große Detektoren
- ⇒ viel Zeit

$$\sigma_{Dp} \propto E_\nu$$

hochenergetische Neutrinos sind  
besser nachzuweisen.

⑤ erste Neutrinos ( $\nu_e$ ) in der Nähe von Kernreaktoren (ca. 1950)

Anfang 60er Jahre: erster  $\mu$ -Neutrinostrahl in Brookhaven

$10^{14}$  Neutrinos      51 Reaktionen  
in Funkenkammer

- alles  $\mu$ , kein  $e$
- Beweis, dass es 2 Arten von Neutrinos gibt

Nobelpreis 1988      Ledermann  
Schwartz  
Steinberger

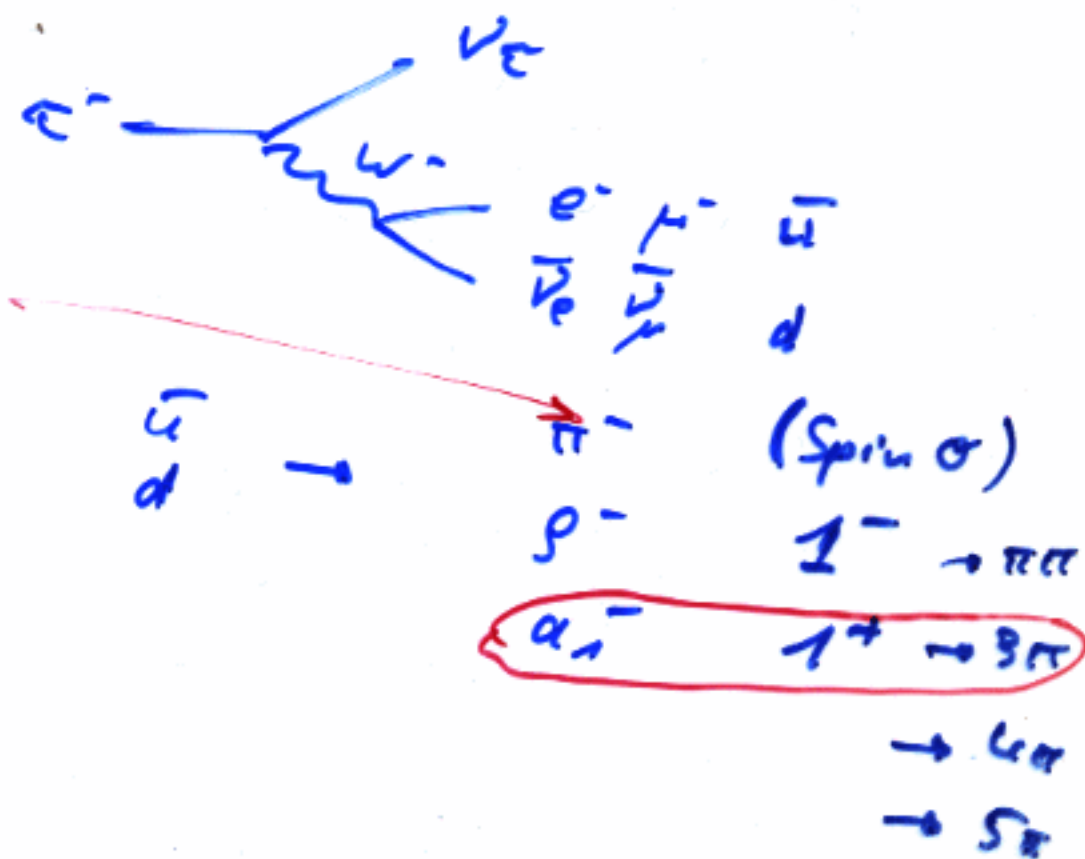
1975 wurde  $\tau$ -Lepton entdeckt:  
(Martin Perl, Nobelpreis)

$$\begin{array}{c} e^+ e^- \rightarrow e^+ \mu^- + \text{fehlende Energie} \\ \downarrow \qquad \qquad \qquad \downarrow \\ e^+ \nu_e \bar{\nu}_e \qquad \qquad \qquad \mu^- \bar{\nu}_\mu \nu_\tau \end{array}$$

⑥  $\rightarrow$  es muss ~~ein~~ ein ter-  
Neutrino existieren.

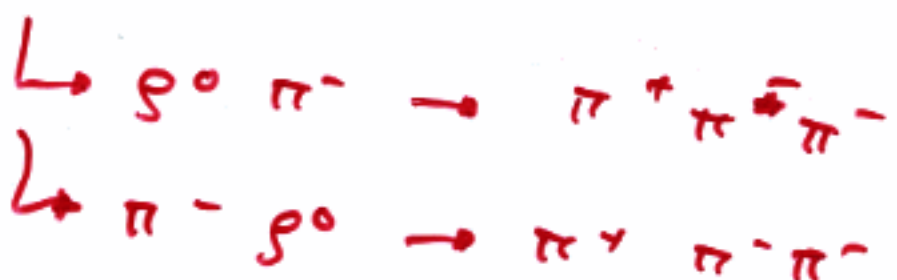
1991 : Kühn & Wagner  
 Feindt  
 ARGUS - Kollaboration.  
 → das  $\bar{\nu}$ -Neutrino ist  
 linkshändig  
 und das  $\nu_e$  rechtsfähig.

Methods:  $\tau^- \rightarrow \nu_\tau \bar{\nu}$

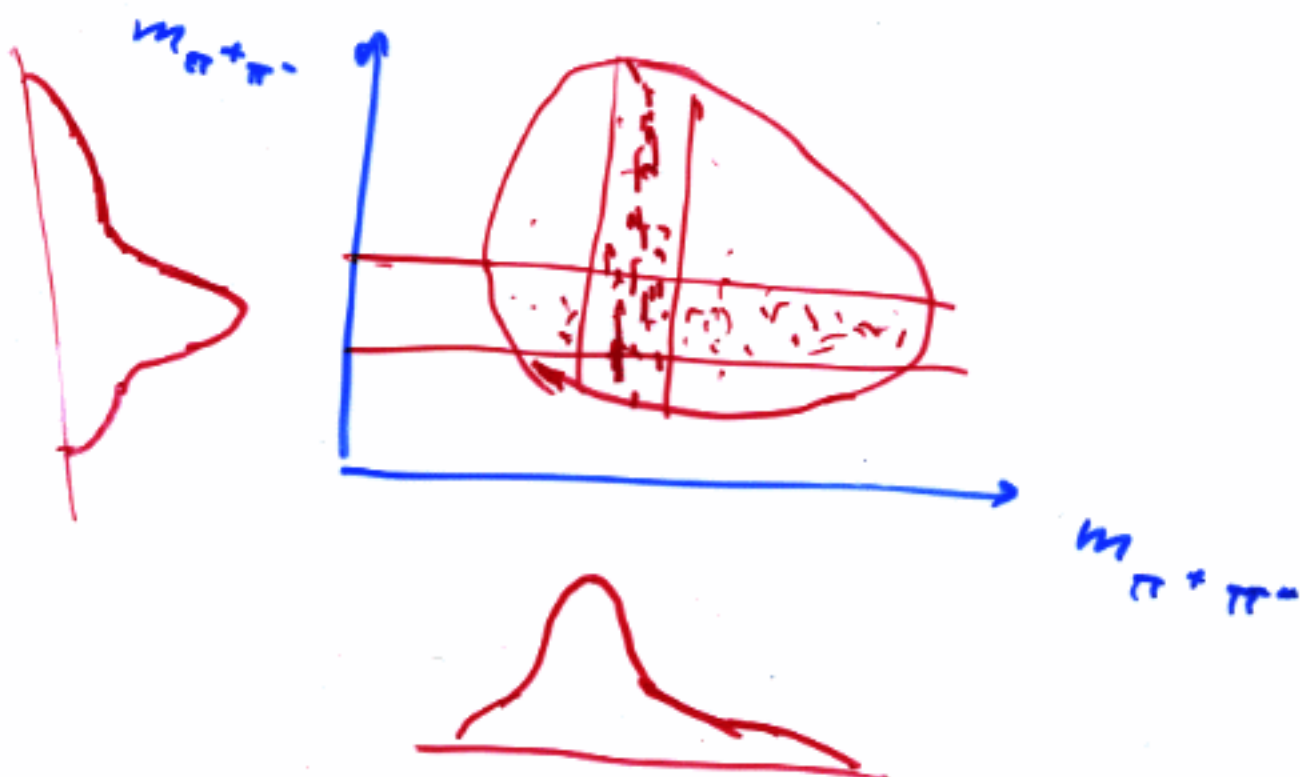


②

$$e^- \rightarrow \nu_e \quad a_1^- < 1$$



Dahlitz - Plot



Bose-Symmetrie zwischen

 $\pi_1^-$  und  $\pi_2^-$ 

$$\rightarrow |g_1 \pi_2^- + g_2 \pi_1^-|^2$$

$$= |g_1 \pi_2^-|^2 + |g_2 \pi_1^-|^2 +$$

keine Helizität zwischen  $\pi_1^-$  und  $\pi_2^-$   $\rightarrow$  2 Real  $(g_1 \pi_2^-)^* g_2 \pi_1^-$

$\rightarrow$  Linksl. Rechtsl. Asymmetrie beobachtbar

$\rightarrow$  Helizität der  $a_1^-$ -Mesons

(8)

→ Helicity von den  $\tau$ -Neutrinos

2000 : DONUT - Experiment  
Fermilab

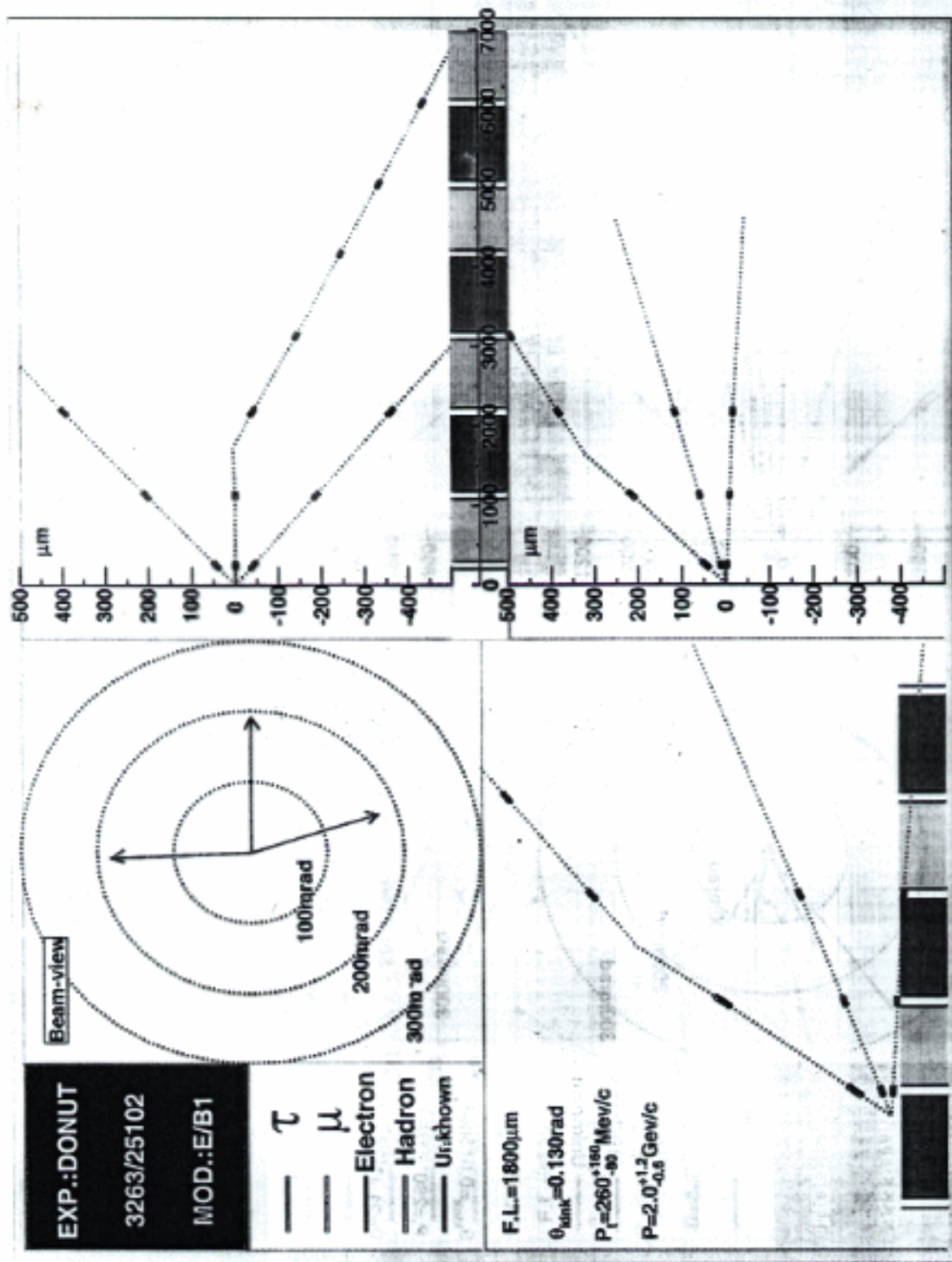
hochenergetischer  $\nu$ -Strahl, der  
auch viele  $\nu_{\tau}$  enthält

Suche in Emulsionstarget  
nach kurzen Spuren, die  
von einem  $\tau$ -Lepton  
herrühren, und Zerfallsprodukten  
vom  $\tau$  (Knick durch  
 $\tau^- \rightarrow \mu^- \bar{\nu}_{\mu} \nu_{\tau}$ )



→ Existenz des und  
Unterscheidbarkeit des  
3. Neutrinos  
nachgewiesen.

5



## Neutrino massen:

Wenn  $\nu_e$ ,  $\nu_\mu$ ,  $\nu_\tau$  unterschiedliche Massen haben, dann kann es zu Neutrinooszillationen  $\nu_e \rightarrow \nu_\tau$ ,  $\nu_\mu \rightarrow \nu_e$ , ... kommen (muss aber nicht)

Directe Massenmessungen bisher erfolglos, Grenzen auf

$$m(\nu_e) < \approx eV$$

$$m(\nu_\mu) < \approx keV$$

$$m(\nu_\tau) < \approx MeV$$

$$\begin{pmatrix} \nu_e \\ \nu_\mu \\ \nu_\tau \end{pmatrix} = M \cdot \begin{pmatrix} \nu_1 \\ \nu_2 \\ \nu_3 \end{pmatrix}$$

Eigenzustände  
der  
Schwesterne

3x3  
Mischungs-  
matrix

Massen-  
Eigenzustände

## 2 Neutrinoarten: ( Vereinfachung)

$$\nu_e = \nu_1 \cos \theta + \nu_2 \sin \theta$$

$$\nu_\mu = -\nu_1 \sin \theta + \nu_2 \cos \theta$$

reinen  $\nu_e$ -Strahl (z.B. Sonne)

mit Impuls  $p$ , dann wird

daraus nach Länge  $L$  eine  
Mischung aus  $\nu_e$  und  $\nu_\mu$

$$\nu_1(t) = \nu_1(0) \cdot e^{-i E_1 t}$$

$$\nu_2(t) = \nu_2(0) \cdot e^{-i E_2 t}$$

$$\hbar = c = 1$$

$$E_i = \sqrt{p^2 + m_i^2} \approx p + \frac{m_i^2}{2p}$$

$$\nu_e(0) = 1$$

$$\nu_\mu(0) = 0$$

$$\frac{I_e(t)}{I_e(0)} = \left| \frac{\nu_e(t)}{\nu_e(0)} \right|^2 =$$

$$1 - \sin^2(2\theta) \sin \frac{(E_2 - E_1)t}{2}$$

$$E_2 - E_1 = \frac{m_2^2 - m_1^2}{2p} = \frac{\Delta m^2}{2p}$$

$p^2 = E^2$

$$t = \frac{L}{v} = \frac{L \cdot E}{p} \quad L = \text{Flugstrecke}$$

→

$$\frac{I_e(t)}{I_e(0)} = 1 - P(\nu_e \rightarrow \nu_\mu) = 1 - \sin^2(2\theta) \sin^2(\Delta m^2 \frac{L}{4E})$$

$\Delta m^2$  ,  $\theta$  sind Parameter des Modells

Wenn es  $\Delta m^2$  und  $\theta \neq 0$  zwischen irgendwelchen Neutrino-arten gilt, sollte es Oscillationen geben.

„Disappearance“-Experimente

$\nu_e \rightarrow$  weniger  $\nu_e$   
 Sonne → os kommen zu  
 wenig  $\nu_e$  an

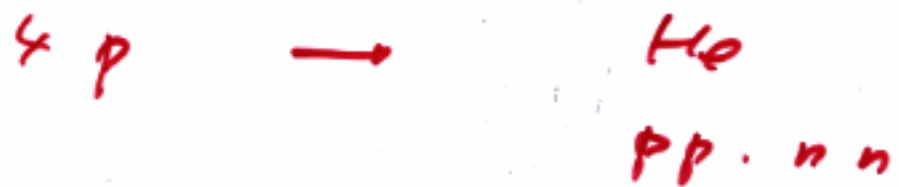
## „Appearing“ - Experimente

$$\nu_e \rightarrow \bar{\nu}_\mu, \bar{\nu}_\tau$$

es werden Neutrinos beobachtet, die nicht erzeugt wurden sind.

## Sonnen - Neutrinos

entstehen im Kernfusions-Zyklus  
in der Sonne



→ verschiedene Arten von Detektoren, die unterschiedliche  $E_\nu$ -Nachweisschwellen haben.

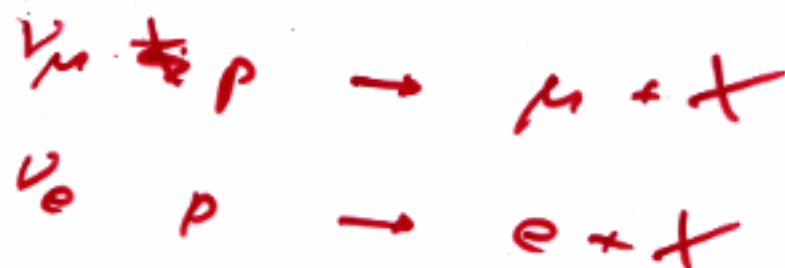
→ über 30 Jahre hat sich die Evidence verdichtet,

dass zu wenige  $\nu_e$   
von der Sonne als  $\nu_\mu$   
auf der Erde ankommen  
(ca.  $\frac{1}{3} - \frac{1}{2}$ )

→ Super-Kamikande  
atmosphärische Neutrinos

erwartet:  $\frac{\nu_\mu}{\nu_e} = 2:1$

500 000 t Wasser-Tank

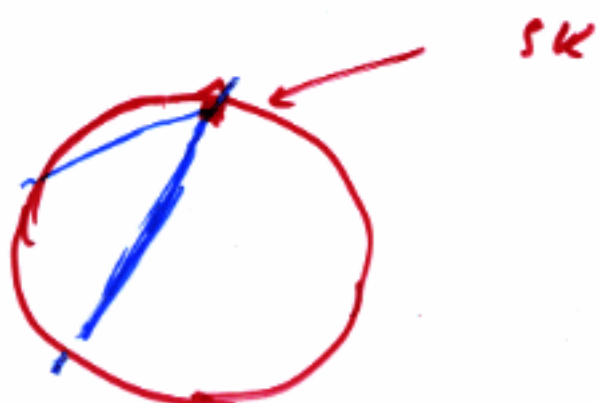


erzeugen  
Cerenkov-Licht

Lichtkegel werden durch  
riesiges Photomultiplier-Array  
aufgenommen  $\Rightarrow$   $\mu$  und  $e$ -  
Spuren sind unterscheidbar

beobachtet:  $\frac{\nu_\mu}{\nu_e} \approx 1$

- ⇒  $\nu_\mu$  verschwinden auch
- Tag-Nacht-Effekt  
„Winkelverteilung“



$\frac{\nu_\mu}{\nu_e}$  hängt von der durchquerenden Materie ab.

resonante  $\nu_\mu \rightarrow \nu_e$ -Oszillationen  
in Materie  
(Mikheyev, Smirnov, Wolfenstein)  
 $\sigma_{\nu_\mu p} \neq \sigma_{\nu_e p}$

CHORUS, NOMAD CERN  
suchen nach  $\nu_\mu \rightarrow \nu_e$

Transformationen auf  
Strecke von 600 m

Long-Baseline -Experiment:

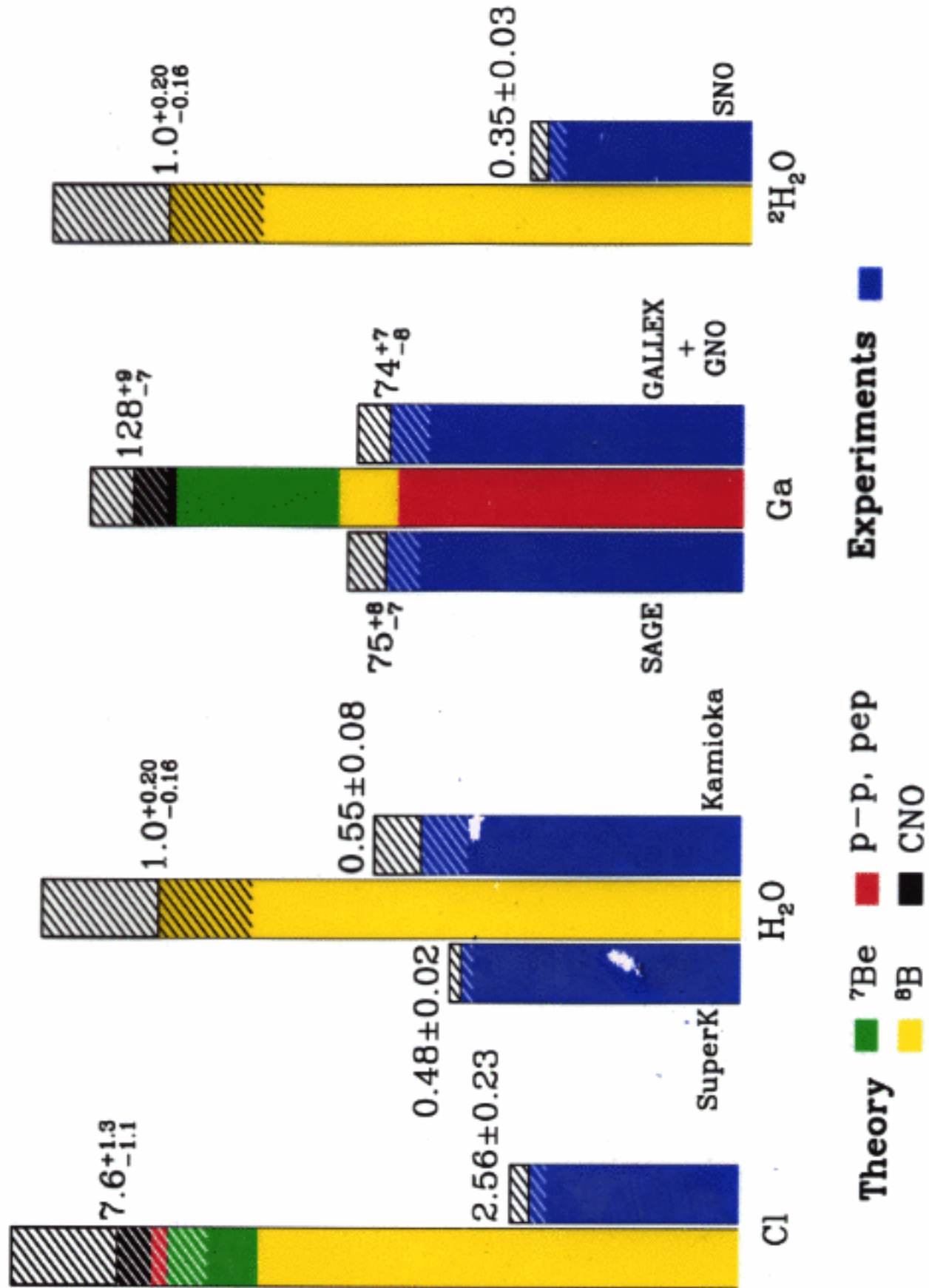
K2K 250 km

geplant: CERN - Gran Sasso  
(Italien)  
730 km

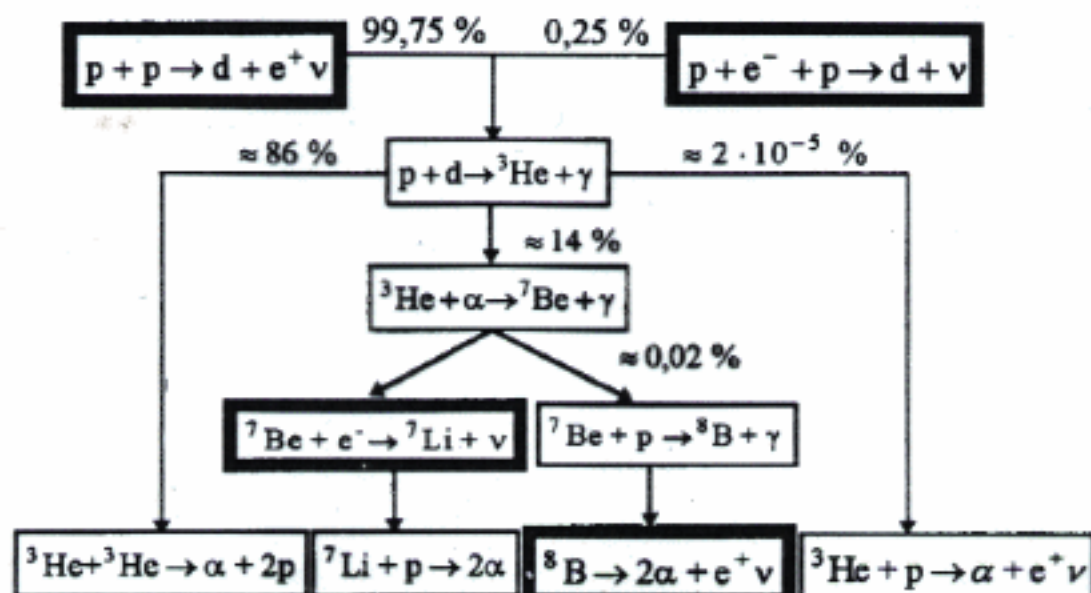
bisher erfolglos

# Total Rates: Standard Model vs. Experiment

## Bahcall-Pinsonneault 2000



(b) Der Wasserstoffzyklus der Sonne



(b) Das Neutrinospektrum der Sonne

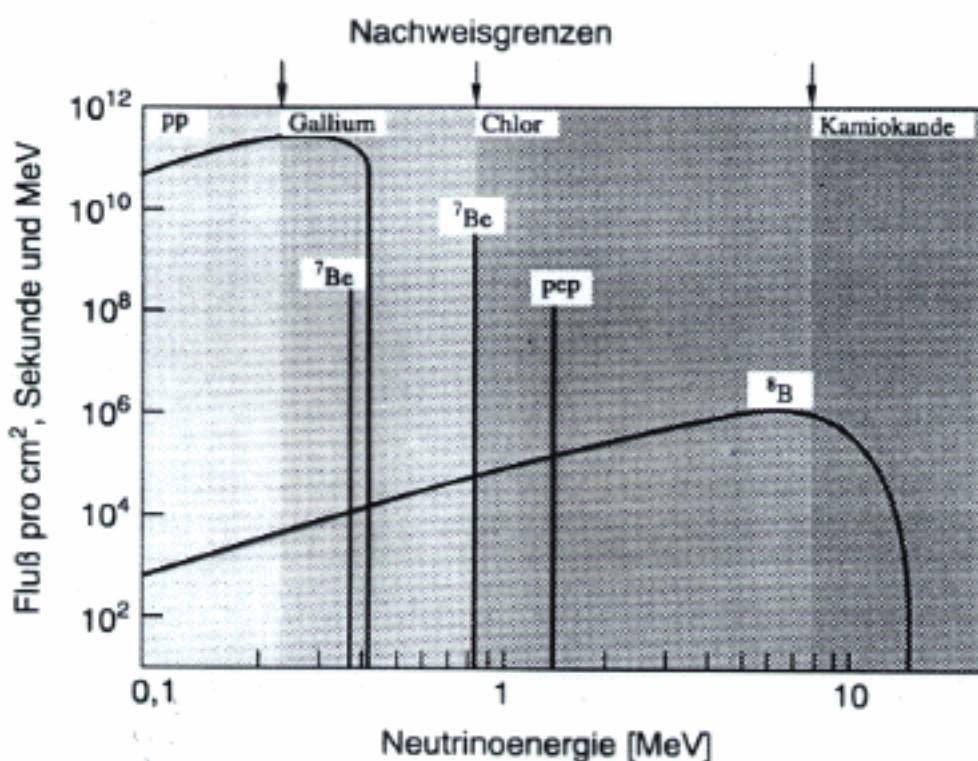
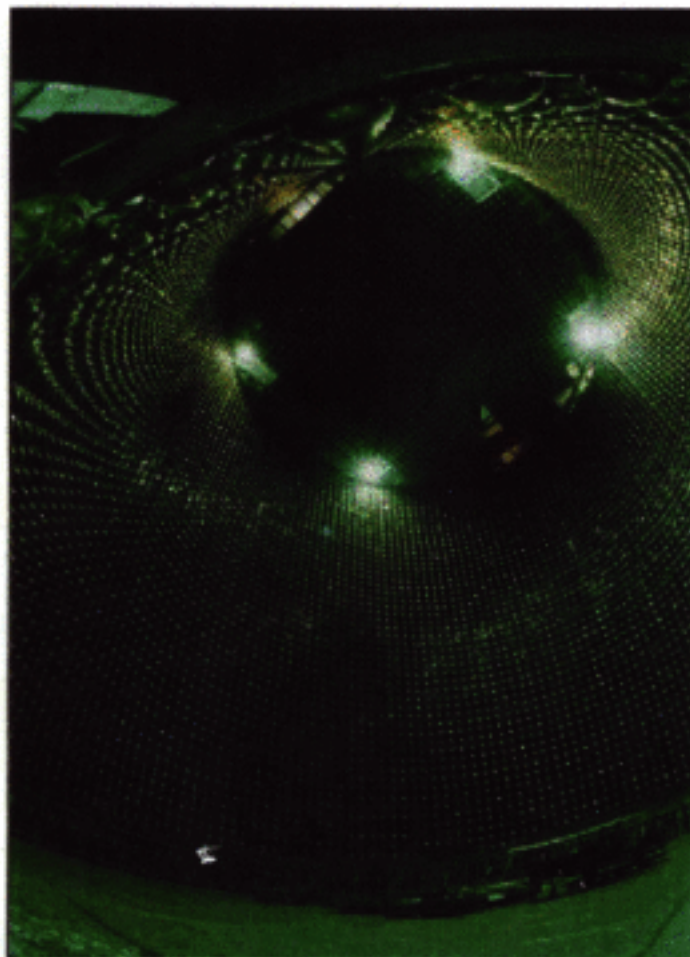
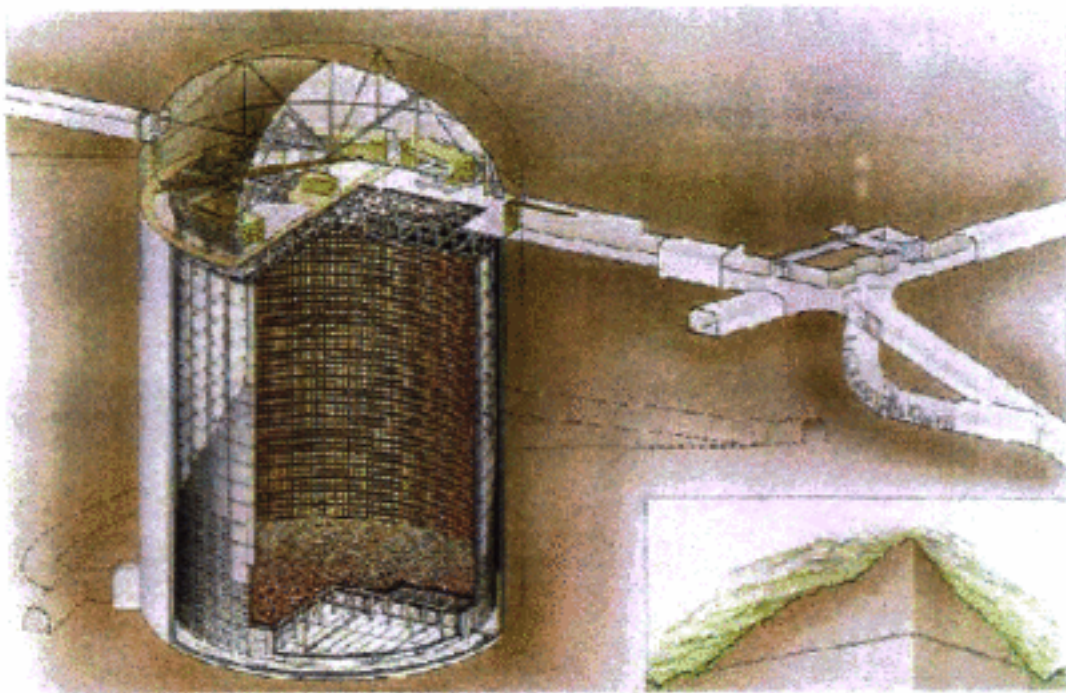


Abb. II.40: (a) Der Wasserstoff-Zyklus (wichtige Prozesse, bei denen ein Neutrino erzeugt wird, sind hervorgehoben)  
 (b) Das Sonnenneutrino-Spektrum in doppeltlogarithmischer Darstellung

## The Super-Kamiokande Neutrino Detector

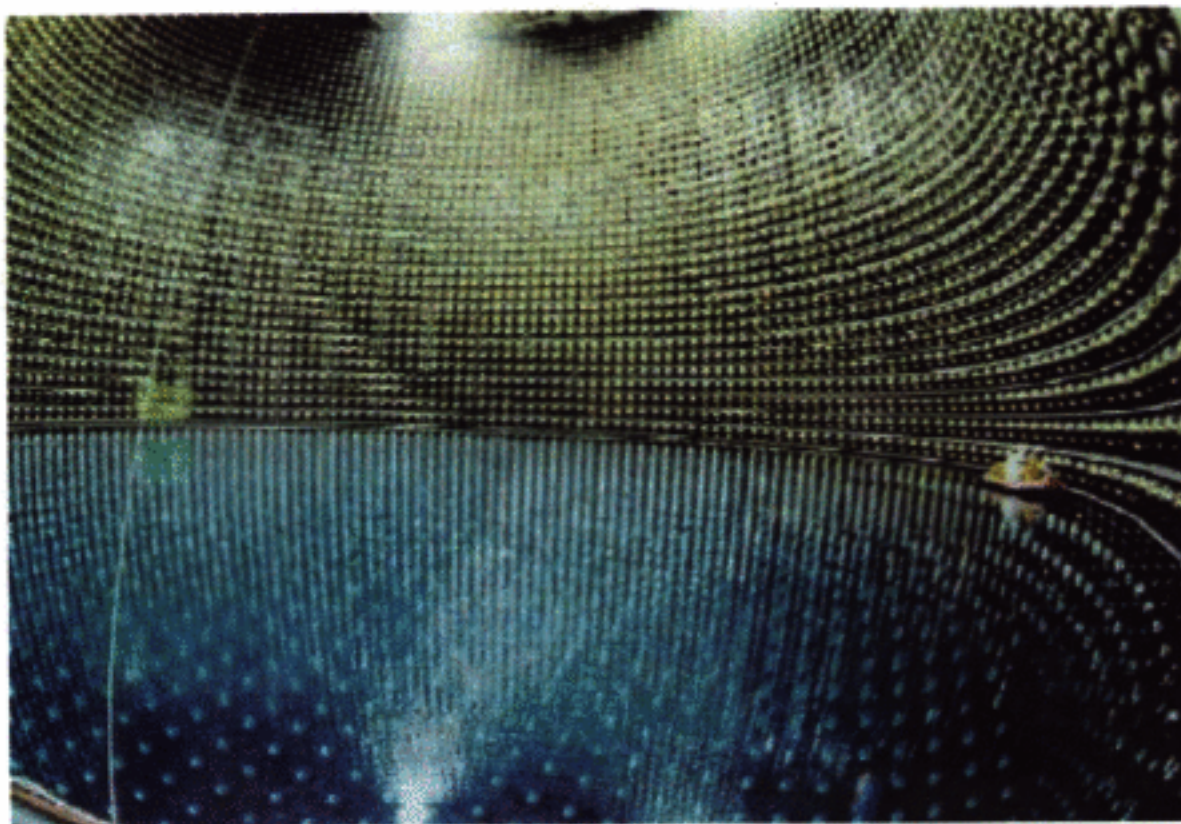


*Located in Japan, Super-Kamiokande is a detector that studies the elusive particles known as neutrinos. This is a picture of the detector wall and top with about 9000 photomultiplier tubes which help detect the neutrinos.*

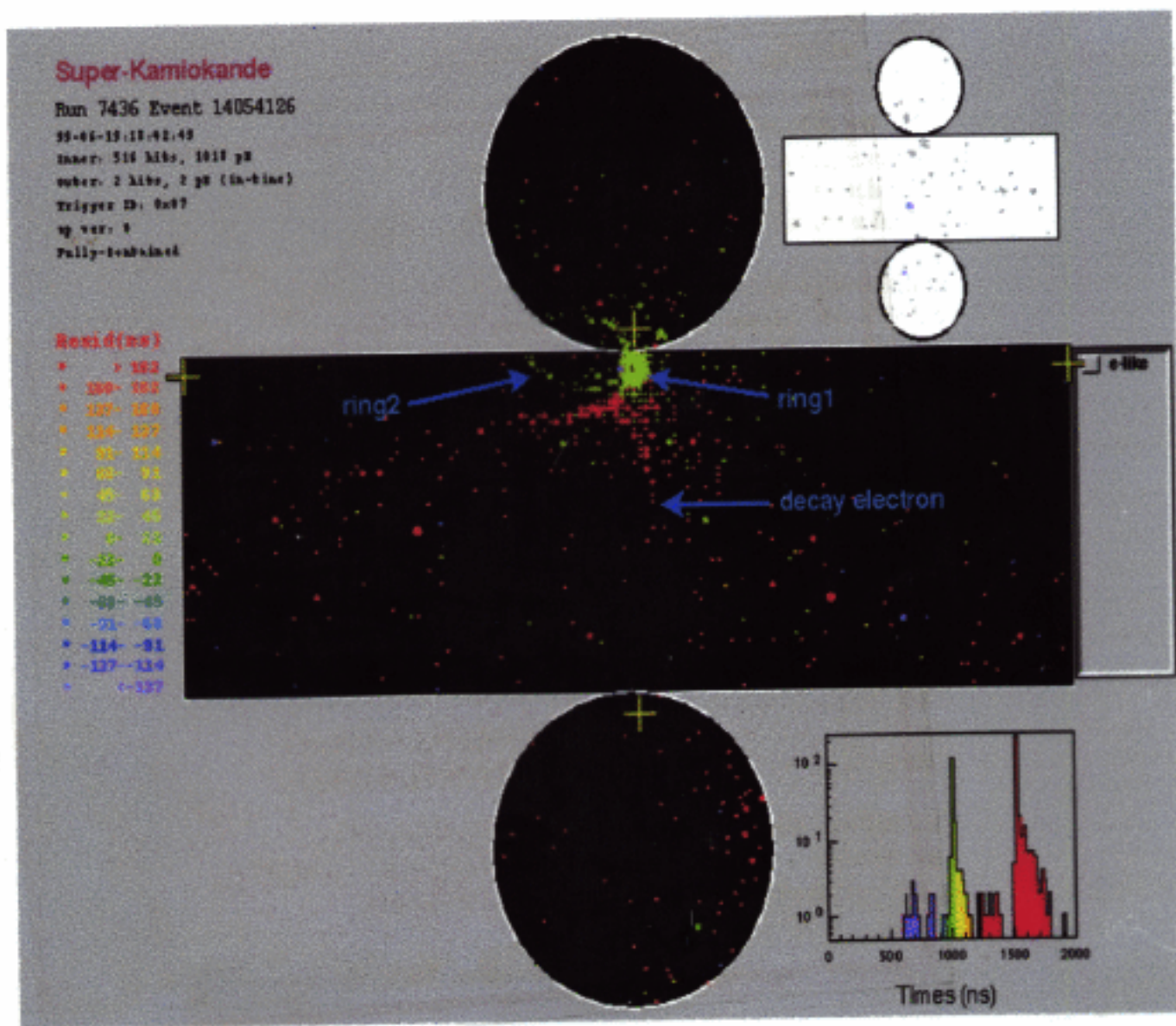


SUPERKAMIOKANDE INSTITUTE FOR PHYSICS AND RESEARCH, UNIVERSITY OF TOKYO

*Schematic illustration of the Super-Kamiokande detector*



*Inner detector half-filled with water*

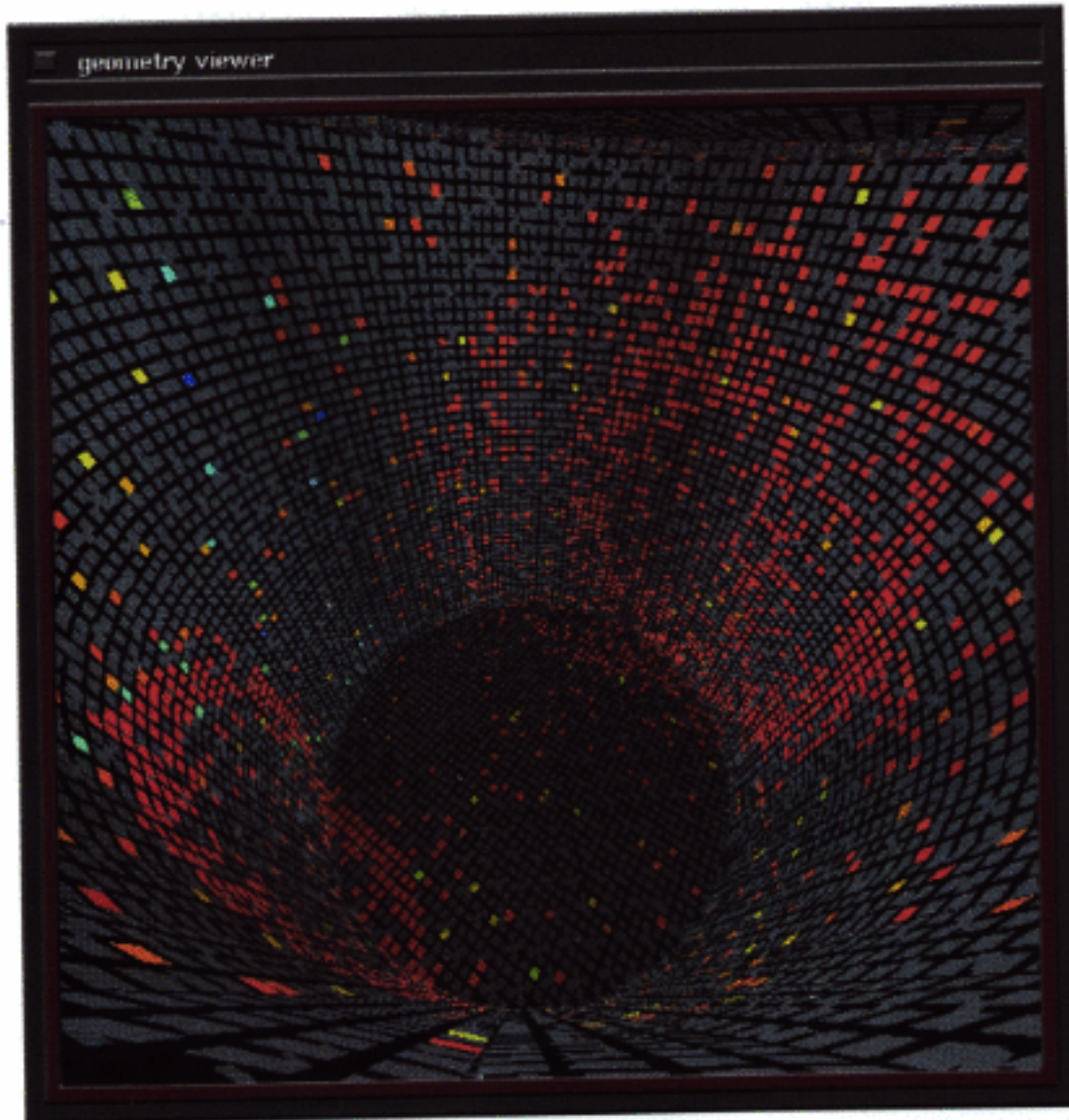


K 2 K

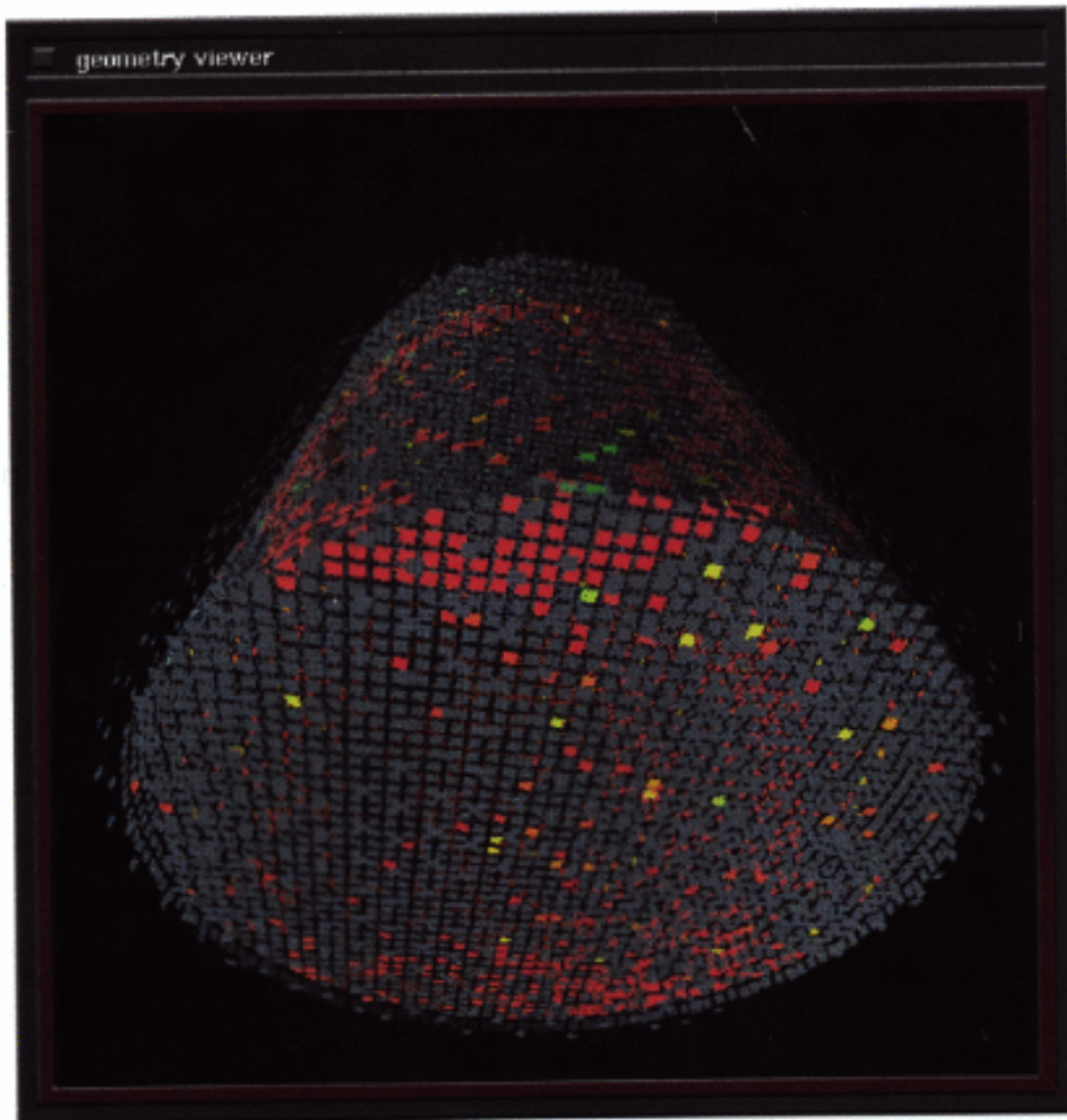
KEK to Kamiokande

~~250~~ 250 km

Neutrino-Oscillations-Experiment



Cerenkov - Ringe von  
Teilchen im  
Superkamiokande -  
Detektor  
(von innen gesehen)



(von außen)

Nov 14 2001

Dear colleague,

As a director of the Kamioka Observatory, which owns and is responsible to operate and maintain the Super-Kamiokande detector, it is really sad that I have to announce the severe accident that occurred on November 12 and damaged the significant part of the detector.

The cause and how to deal with the loss in future will be discussed by newly found committees.

However, even before discussing with my colleagues of the Super-K and K2K collaborations, I have decided to express my intension on behalf of the staff of the Kamioka Observatory.

We will rebuild the detector. There is no question. The strategy may be the following two steps, which will be proposed and discussed among my colleagues.

1. Quick restart of the K2K experiment.

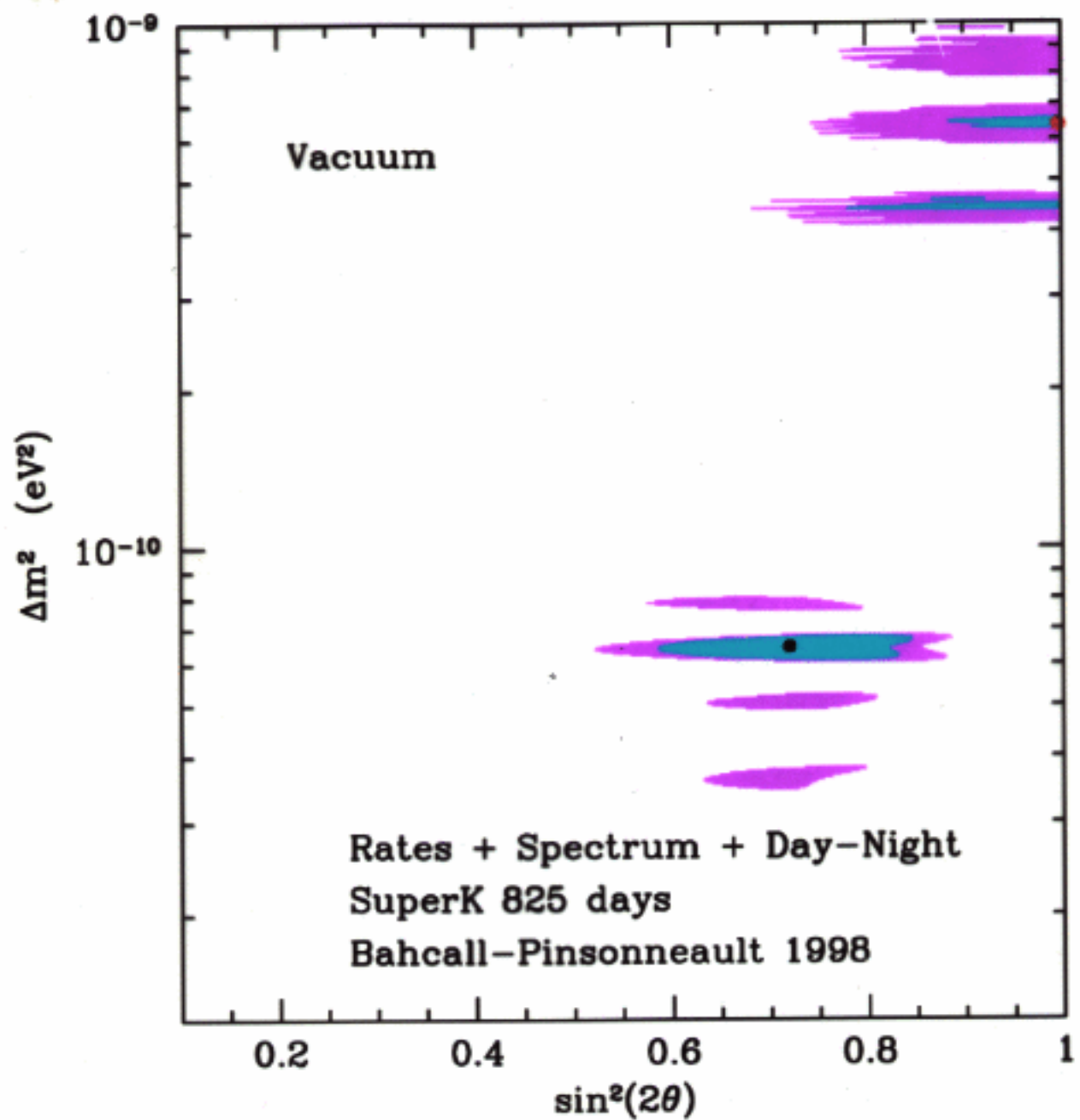
(1) We will clear the safety measures which may be suggested by the committees, (2) reduce the number density of the photomultiplier tubes by about a half, (3) use the existing resources, (4) resume the K2K experiment as soon as possible; the goal may be within one year.

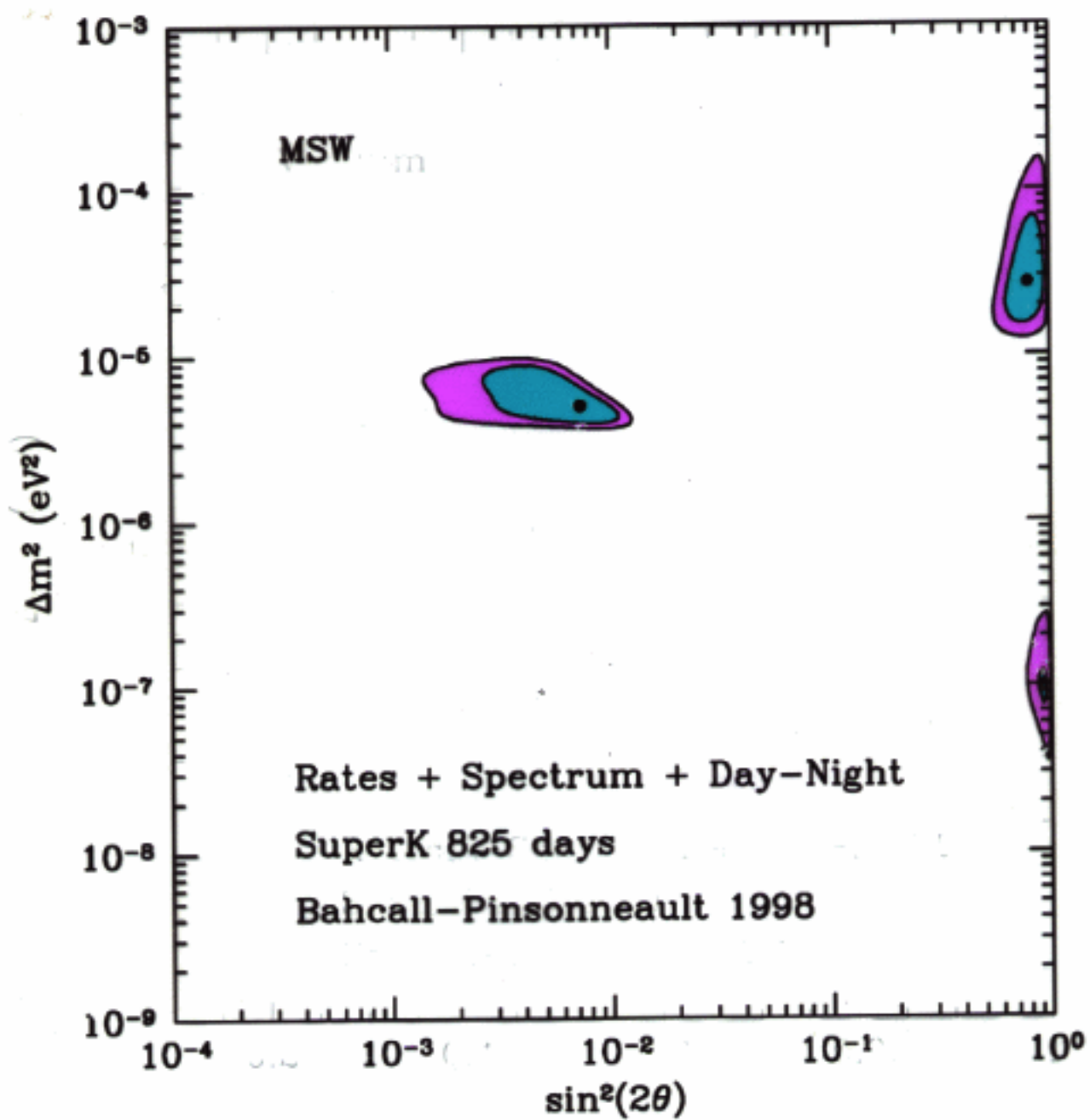
2. Preparation for the JHF-Kamioka experiment.

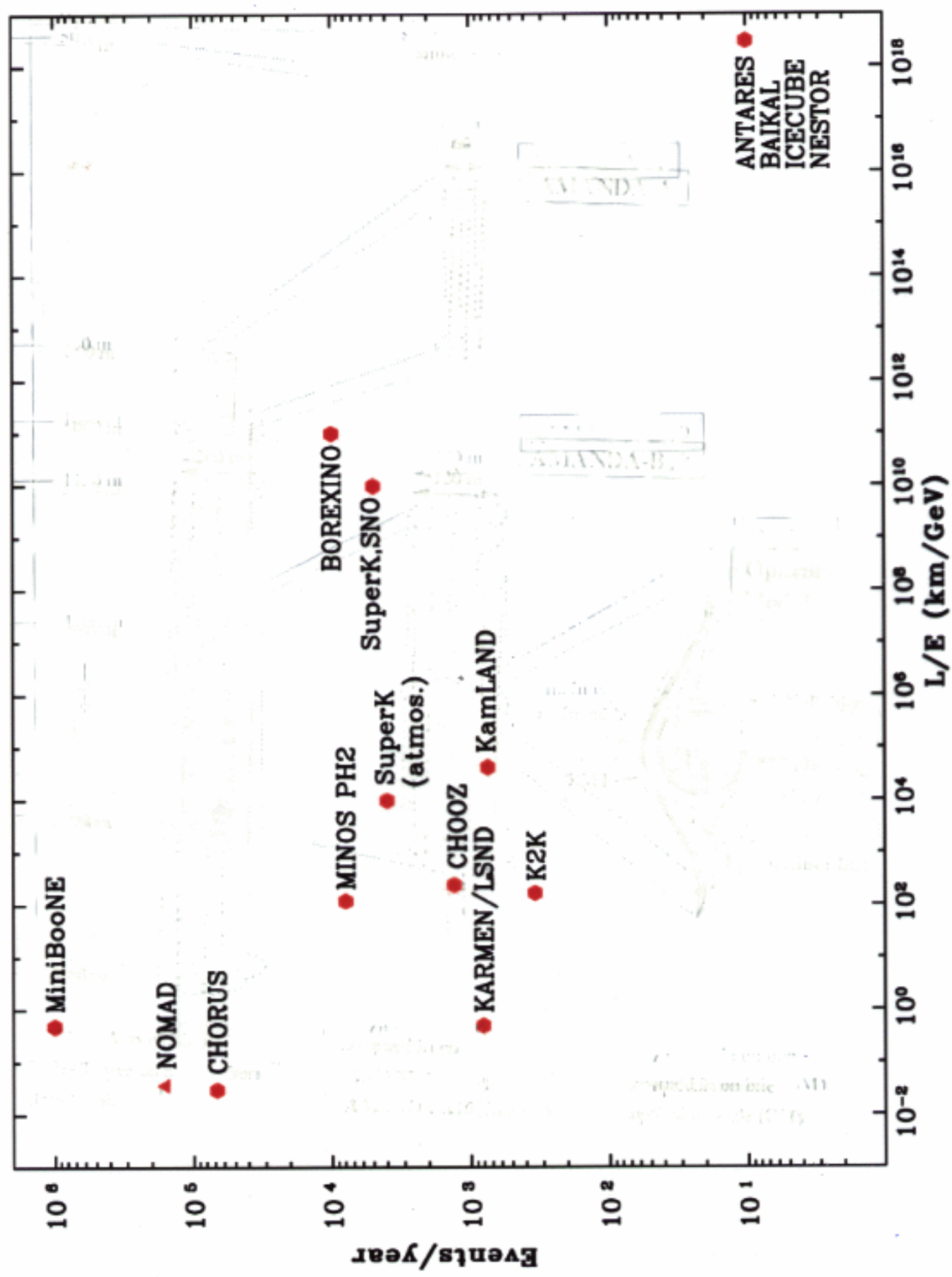
(1) Restore the full Super-Kamiokande detector armed with the state-of-the-art techniques. (2) The detector will be ready by the time of the commissioning of the JHF machine.

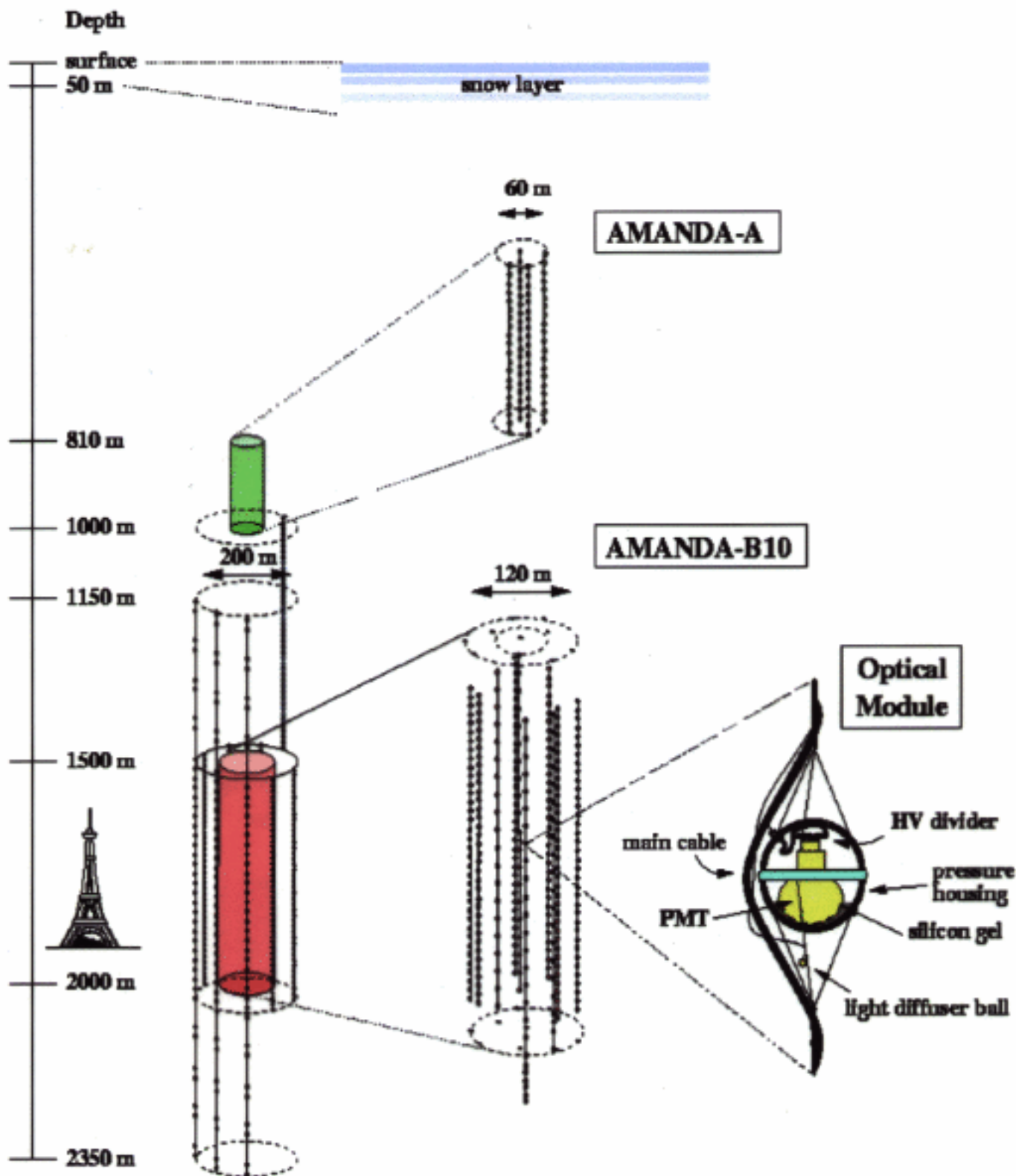
To achieve our objective is formidable but we are determined to do so. We certainly need your encouragement, advice and help. I should appreciate it very much if you could support our effort as you have kindly done so before.

Best regards,  
Yoji Totsuka  
director, Kamioka Observatory  
On behalf of the Kamioka Observatory staff









**AMANDA as of 2000**

Eiffel Tower as comparison  
(true scaling)

zoomed in on

AMANDA-A (top)  
AMANDA-B10 (bottom)

zoomed in on one  
optical module (OM)

#

Wenn alle Experimente

wichtig sind,

muss es ein 4. Neutrino  
geben (steriles Neutrino)

→ wahrscheinlich ist ein  
Experiment falsch  
(Kandidat: LNSD)

Konkurrenz KARMEN  
(Kampekt)

→  $\nu_\mu \rightarrow \nu_e$   
 $\nu_e \rightarrow \nu_e$  Haupteffekt

SNO

Sudbury  
Neutrino  
Observatory  
mit  $D_2O$  (schweres Wasser)  
Neutrinoerfang: nur  $\nu_e$   
Streuung am Elektron:  $\sigma(\nu_e) \gg \sigma(\nu_\mu, \nu_\tau)$   
Spaltung  $d \rightarrow p\bar{n}$ :

$$\sigma(\nu_e) = \sigma(\nu_\mu) = \sigma(\nu_\tau)$$

misst Gesamtanzahl von  
solaren Neutrinos

⇒ erste Ergebnisse:

total  $\nu$ -Rate stimmt  
mit Theorie überein

